



المؤشرات المورفوتكتونية لحوض ايندزه في قضاء رانياة شمال محافظة السليمانية

م. د. علي سليم حماد عبد الكريم المشهداني

E-mail: Ali.Saleem1104h@ircoedu.uobaghdad.edu.iq

العراق / وزارة التربية / المديرية العامة للتربية ببغداد الكرخ الأولى



Morphotectonic indicators of the Endeza Basin in Raniya District, north of Sulaymaniyah Governorate

Inst. Ali Saleem Hammad Abdalkarim Almashhadani (Ph. D)

E-mail: Ali.Saleem1104h@ircoedu.uobaghdad.edu.iq

Iraq / Ministry of Education / General Directorate of Education, Baghdad, Karkh

I



المستخلص

تناول البحث المؤشرات المورفوتكتونية في حوض ايندزه في قضاء رانيا التابعة إدارياً إلى محافظة السليمانية التي تقع في شمال شرق العراق، ليقع فلكياً بين خطي طول (٣٦°٢٥' و ٣٦°٤٠') و بين دائري عرض (٤٤°٠ و ٤٥°٠) شرقاً وبين دائري عرض (١٠٠° و ١٠١°٣٣') شمالاً، يصب حوض ايندزه في نهر الزاب الكبير، أما مساحة الحوض بلغت (٦٨٢ كم٢). ومن أجل تقييم وبيان مدى تأثير النشاط التكتوني من خلال استخدام معادلات حسابية للمؤشرات الجيومورفولوجية للأودية النهرية والمتمثلة (مؤشر عدم التقابل (AF)، مؤشر عدم مقدمة الجبل (SMF)، مؤشر شكل الحوض (BS)، مؤشر طول المجرى ودرجة انحداره (SL)، مؤشر عرض أرضية الوادي الى ارتفاع الوادي (VF)، مؤشر الفعالية التكتونية النسبية (LAT))، اذ ثبتت نتائج البحث انه يظهر استمرار فعالية الأنشطة التكتونية من خلال هذه المعادلات، اذ اظهر المؤشر الفاعلية التكتونية النسبية (LAT) لأحواض منطقة الدراسة الذي بعد المحصلة النهائية لجميع نتائج المؤشرات المورفوتكتونية، اذ ظهرت الأحواض ضمن الفئات الثلاثة للفاعلية التكتونية اعتماداً على اهم التصانيف التكتونية والمتمثلة (احواض نشاط تكتوني عالي جداً وتمثل بالاحواض (١، ٣، ٥)، اوحواض ذات نشاط تكتوني عالي (٢، ٤)، في حين أظهرت الدراسة ان الحوض الرئيسي ذو نشاط تكتوني معتدل، بالإضافة الى ان احواض منطقة الدراسة لها مخاطر جيومورفولوجية على النشاطات البشرية (السكن، النقل، السياحة) مثل الانهيارات الصخرية وحركة سقوط الصخور والسيول، وعليه يوصي البحث التوسيع في الزراعة بشكل متظور وحسب الدراسة، ولا سيما على المنحدرات لتنشيط التربة من مخاطر التعريفة، رسم خرائط تحديد المناطق الآمنة والمستقرة جيومورفولوجيا والنشاط التكتوني لاستعمالات البشرية ويوصي البحث بإجراء دراسات مستفيضة حول المخاطر الجيومورفولوجية التي تتعرض لها منطقة حوض ايندزه.

الكلمات المفتاحية: حوض، قضاء رانيا، المورفوتكتونية، المؤشرات، وادي ايندزه.

Abstract

The research dealt with the morphotectonic indicators in the Endeze Basin in Raniya District, which is administratively affiliated to the Sulaymaniyah Governorate, which is located in northeastern Iraq. It is located astronomically between longitudes (44°50'0 and 44°30'0) west and between latitudes (36°10'0 and 36°25'0) north. The Endeze Basin flows into the Great Zab River, and the basin area is (334,682 km²). In order to estimate and demonstrate the extent of the impact of tectonic activity through the use of mathematical equations for the geomorphological indicators of river valleys, which are (the asymmetry index (AF)), the mountain front meander index (SMF), the basin shape index (BS), the channel length and slope index (SL), the valley floor width to valley height index (VF), and the relative tectonic activity index (LAT)). The results of the research proved that the effectiveness of tectonic activities continues through these equations, as the indicator showed the relative tectonic activity (LAT) of the basins of the study area, which is the final result of all the results of the morphotectonic indicators, as the basins appeared within the three categories of tectonic activity depending on the most important tectonic classifications, which are (basins of very high tectonic activity, represented by basins (1, 3, 5), and basins with high tectonic activity (2, 4, 6), while the study showed that the main basin has moderate tectonic activity, In addition, the basins of the study area have geomorphological risks to human activities (housing, transportation, tourism) such as rock collapses, rockfall movement and floods. Therefore, the research recommends expanding agriculture in a sophisticated manner according to the study, especially on slopes to stabilize the soil from the risks of erosion, drawing maps to identify safe and stable areas geomorphologically and tectonic activity for human uses. The research recommends conducting comprehensive studies on the geomorphological risks to which the Endeze Basin area is exposed.

Keywords: Basin, Raniya District, Morphotectonic, Indicators, Endeza Valley.

بسم الله الرحمن الرحيم

المقدمة:

لقد أكدت الدراسات الجيومورفولوجية التطبيقية الحديثة على بيان اثر مخاطر المؤشرات الجيومورفولوجية لعمليات التشیط التکتونی التي تعرف بالحركات الأرضية الحديثة والتشوهات الناتجة عنه والتي تحدث بشكل بطئ وغير محسوس، اذ يصعب تمیزها بالملاحظة المباشرة ولكن يمكن تقييمها وتسجيلها من خلال الآثار السطحية والتغيرات الجيومورفولوجية الناتجة عن تلك النشاط التکتونی، اذ تعمل على تغيير اشكال سطح الأرض بمرور الزمن بشكل بطئ وخلال مدة قصيرة، واعتمدت الدراسة الرياضية والاحصائية على التقنيات الحديثة المتمثلة بنظم المعلومات الجغرافية والاستشعار عن بعد والمتمثلة بالنماذج المبرمجة بدراسة المظاهر الجيومورفولوجية ومدى علاقتها نشأتها بالبنية الجيولوجية وذلك من خلال تحليل وتفسير ومراقبة وفهم التغيرات التي تحدث في المشهد الطبيعي.

أولاً : مشكلة الدراسة

تتمثل مشكلة البحث بمجموعة من التساؤلات هي:-

١- يعني حوض أيندزه في قضاء رانية من نقص واضح في الدراسات المورفوتكتونية المتخصصة، على الرغم من كونه منطقة ذات نشاط تکتونی حيث، هذا القصور يؤدي الى محدودية فهم العلاقة البنية التکتونية والتطور الجيومورفولوجي للحوض؟

٢- ما هي تأثير النشاط التکتونی على العمليات الجيومورفولوجية في حوض أيندزه؟

ثانياً : فرضية الدراسة

- ١- تكشف المؤشرات المورفوتكتونية لحوض ايندزه عن قيم غير متجانسة مكانياً، تعكس تفاوتاً في شدة النشاط التكتوني الحديث.
- ٢- يؤثر النشاط التكتوني بمستويات متباعدة على العمليات الجيومورفولوجية في حوض ايندزه.

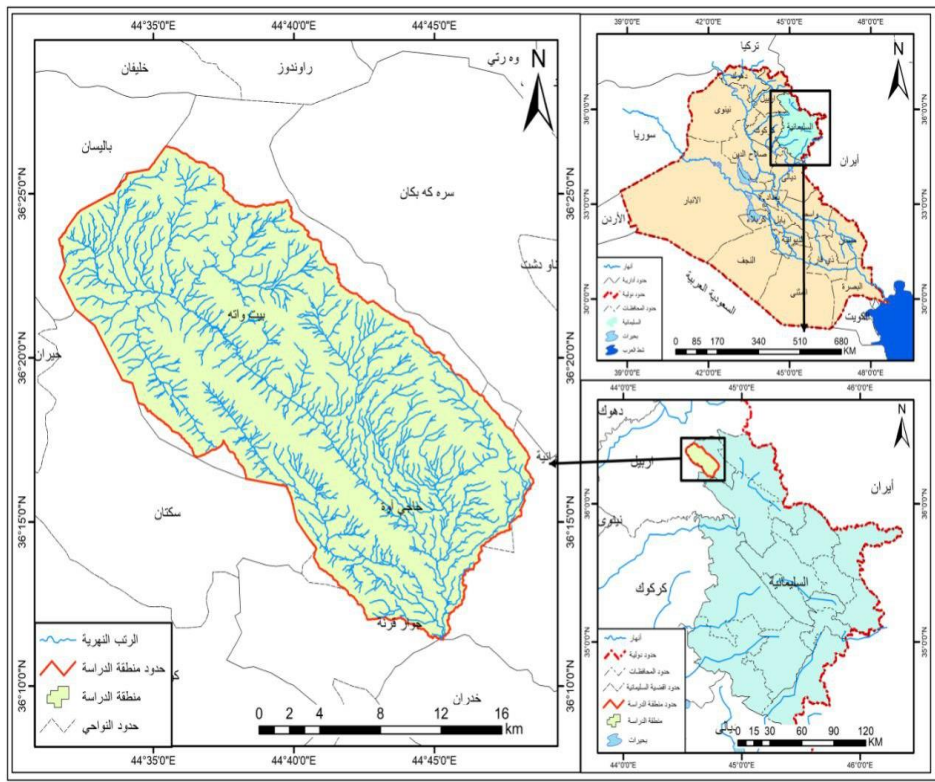
ثالثاً : هدف البحث واهميته

يهدف البحث دراسة وتقييم مؤشر النشاط التكتوني النسبي (LAT) عن طريق تحليل نظم المجاري المائية السائدة في حوض ايندزه المستتبطة من نموذج الارتفاعات الرقمية ، اعتمادا على اهم المؤشرات الجيومورفولوجية لاستخراج الاحواض المتأثرة بتسارع العمليات الجيومورفولوجية في منطقة الدراسة

رابعاً : موقع منطقة الدراسة

تعد منطقة الدراسة المتمثلة بحوض وادي ايندزه الواقع مكانياً والتابع أدارياً لقضاء رانية في محافظة السليمانية الواقعة شمال شرق العراق، إذ يمتد في قضاء رانية شمال محافظة السليمانية، ليقع فلكياً بين خطى طول ("٠°٥٠'٤٤" و "٠°٣٠'٤٤") شرقاً وبين دائري عرض ("٠°٣٦'٢٥" و "٠°٣٦'١٠") شمالاً، يصب حوض ايندزه في بحيرة دوكان التي تعد الخزان المائي الأكبر في المنطقة ، كما موضح في الخريطة (١)، اما مساحة الحوض بلغت (٤٣٣٤.٦٨٢ كم^٢).

خرطة (١) موقع حوض ايندزه بالنسبة ل العراق ومحافظة السليمانية



المصدر : خريطة العراق الإدارية مقياس ١:١٠٠٠٠٠ ، قسم انتاج الخرائط ، المديرية العامة للمساحة ، وزارة الموارد المائية ، بغداد ، العراق ، ٢٠٢٠ ، واستخدام برنامج Arc GIS 10.5

تحليل وقياس المؤشرات الجيومورفولوجية:

تعتبر المؤشرات المورفوتكتونية أداة من أدوات والأساليب الحديثة لتقدير النشاط التكتوني في أي منطقة من سطح الأرض ، ولا سيما إنها تعطي صورة واضحة تفصيلية عن تطور مورفولوجية أي حوض ، إذ يمكن لهذه المؤشرات أن تظهر أي تطور أو تغير للتغيرات المناخية والعمليات التكتونية التي حدثت في منطقة الدراسة^(١).

لذلك تم استخدام المؤشرات الجيومورفولوجية في منطقة الدراسة لتحقيق هدف الدراسة عن طريق استخدام نموذج الارتفاع الرقمي (DEM) باستخدام برنامج (Arc GIs)

١-مؤشر عامل عدم التماثل (AF):

مؤشر (AF) يقيس ميل جانبي الحوض بالنسبة للمجرى الرئيسي في الحوض المائي والتي نتجت بفعل تأثيرها بالقوى التكتونية ، اذ من خلال مؤشر (AF) يتم تحديد مقدار تباين تغير مسار المجرى الرئيسي لأحواض التصريف المائي عن محور الحوض بفعل النشاط التكتوني ، ومن خلال استخراج هذا المؤشر سيتم تطبيق المعادلة التالية^(٢):

$$AF=100(AR/AT)$$

ـ AF: عامل عدم التماثل

ـ AR: مساحة الحوض في الجهة اليمنى للمجرى الرئيسي من المنبع إلى المصب

ـ AT: المساحة الكلية لاحواض المائي

ـ قيمة ثابتة = 100

جدول (١) أصناف مؤشر عدم التماثل AF

الاحواض	المدى	درجة مؤشر AF	الصنف
٥	٦٥ اكثـر	عالية النشـاط	١
٦	٥٧ - ٦٥	معتدلة النشـاط	٢
١، ٢، ٣، ٤، الرئيسي	اـقل من ٥٧	منخفضة النشـاط	٣

المصدر / Keller, E, A, and pinter,n Active Tectonics, Earthquakes, /

Uplift, and Landscape 2002, p125,

اذ كانت القيم للمؤشر عدم التماثل AF اكبر او اقل من (٥٠) تشير الى إمكانية شدة وقلة الانحدار، وهذا يعني ان حوض تصريف مائي تكون قيمة اعلى من (٥٠) سوف يعرض قنوات المجرى الرئيسي الى تدوير وهذا يعني له تاثير على اطوال قنوات في الجانب الرئيسي لمجرى الحوض، أي تكون قنوات اليمن أطول من قنوات الايسر وبالتالي هذا يعكس عدم التماثل وبعد تطبيق المعادلة تم تصنيف احواض ايندزه الى ثلث فئات كما في جدول (١) و(٢) والخريطة (٢).

١-الفئة الأولى : القيم الأكبر من (٦٥) يشمل حوض (٥)، اذ سجلت (٧٦.١٩)

ذات نشاط تكتوني عالي

٢-الفئة الثانية : القيم (٦٥-٥٧) يشمل حوض (٦) ، اذ سجلت (٥٨.١٦) ذات

نشاط تكتوني معتدل

٣-الفئة الثالثة : القيم الأقل من (٥٧) وتشمل الاحواض (١،٢،٣،٤، الرئيسي)

اذ سجلت (٥٠، ٥٠.١٠ ، ٥٤.٧ ، ٥٠ ، ٥٠.٢٩ ، ٥٠.٢٩) على التوالي اذ تميزت

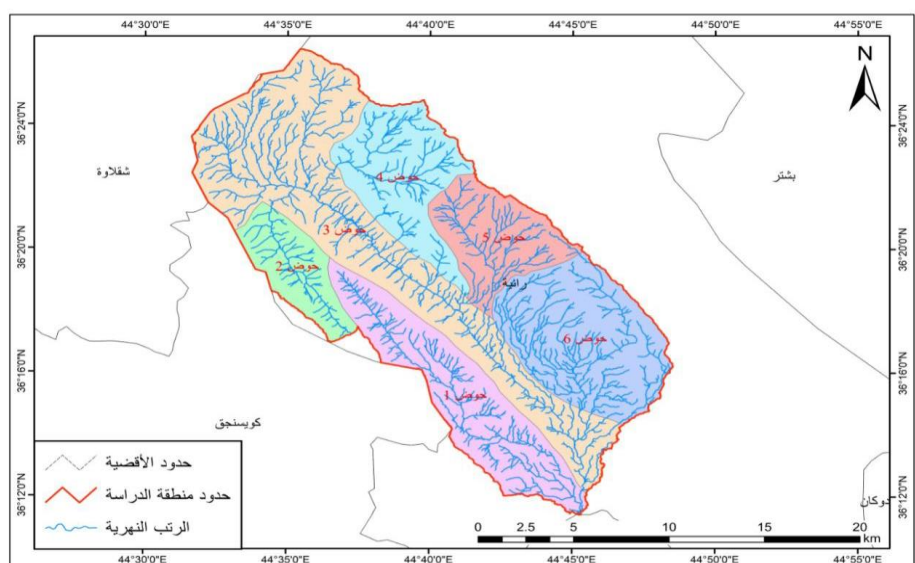
بنشاط تكتوني منخفض.

جدول (٢) مؤشر (AF) لأحواض ايندزه

الدرجة	الصنف	AF_i	AT_i	AR	الاحواض
منخفض النشاط	٣	٥٠	٥٥,١٢١	٢٧.٥٦٠	١
منخفضة النشاط	٣	٥٠,١٠	١١٩,٤٤٦	٥٩,٨٥٣	٢
منخفضة النشاط	٣	٥٤,٧	٤٢,٧٥٣	٢٣,٣٧٦	٣
منخفضة النشاط	٣	٥٠	٣٣,٢١٨	١٦,٦٠٩	٤
عالية النشاط	١	٧٦,١٩	٢٢,٩٠٨	١٧,٤٥٤	٥
معتدلة النشاط	٢	٥٨,١٦	٦١,٢٣٦	٣٥,٦١٨	٦
منخفضة النشاط	٣	٥٠,٢٩	٣٣٤,٦٨٢	١٦٨,٣٤١	الرئيسي

المصدر/اعتمادا على جدول (١) وانموذج الارتفاع الرقمي (DEM) وبرنامج Arc GIS 10.4

خرائط (٢) حوض ايندزه والاحواض الثانوية



المصدر/ من عمل الباحث بالاعتماد على أنموذج الارتفاع الرقمي (DEM) والخريطة الطبوغرافية لمنطقة

الدراسة مقاييس ١:١٠٠٠٠٠ واستخدام برنامج Arg GIS 10.5

٢-مؤشر تعرج مقدمة الجبل (SMF):

مؤشر (SMF) هو التوازن بين قوة التعرية التي تميل الى قطع وトレبة واجهة الجبل والقوة التكتونية التي تميل إلى الوصول الى جبهة جبلية مستقيمة . يتم تعريفها على أنها النسبة بين (Lmf) طول الجبهة الجبلية على طول قاعدتها عند التغير في الانحدار ، و (Ls) طول الخط المستقيم للجبهة الجبلية نفسها بأكملها من بداية القياس الى نهايته، ولا سيما ان المؤشر في الجهات الجبلية النشطة من الناحية التكتونية غالبا ما تكون اكثر استقامة من الجهات الجبلية في المناطق التي تهيمن فيها التعرية على نشاط التكتونية ، لذلك يعتبر من المؤشرات التي تستخدم لقياس التشكيل الأرضي والنشاط الزلالي ، وتم اعتماد المعادلة الحسابية الآتية^(٣):

$$SMF = LMF / LS$$

اذ ان

LMF = طول مقدمة الجبل بشكل متعرج

LS = طول خط المستقيم للجبهة الجبلية نفسها

من خلال تطبيق المعادلة تم تصنيف الاحواض في ايندزه الى فئتين وكما في جدول

(٣) و(٤) وخريطة (٢) وهي كما يأتي:

١-الفئة الأولى : تضم (٦) احواض وهي (١،٢،٣،٤،٥،٦) ، اذ سجلت على التوالي (١,٢٤ ، ١,٥٦ ، ١,١٧ ، ١,٣٨ ، ١,٥٦ ، ١,٣٨ ، ١,٥٦ ، ١,٤٥) ، اذ تتميز بنشاط عالي .

٢-الفئة الثانية : تضم الحوض الرئيسي اذ سجل (١,٧٥)، اذ تتميز بنشاط معتدل.

جدول (٣) قيم مؤشر تعرج مقدمة الجبل (SMF)

الاحواض	القيمة	الصنف	درجة مؤشر SMF
١،٢،٣،٤،٥،٦	١.٦-١	١	عالية النشاط
الرئيسي	١.٦ -٣	٢	معتدلة النشاط
---	٥-٣	٣	منخفضة النشاط

Bull, W.B. and Mcfadden ,L.D.(1977) . Tectonic geomorphology north and south of the Garlock fault ,California, In: doihring, D.O. (Ed.), Geomorphology in Arid Regions .proceedings of Eighth Annual Geomorphological, Symposium, State University ,New (York, Binghamton, P122

جدول (٤) مؤشر تعرج مقدمة الجبل (SMF) لأحواض ايندزه

الدرجة	الصنف	كم SMF	كم Ls	كم LMF	الاحواض
عالية النشاط	١	١,٢٤	٢٠,١٦٣	٢٥,١٦٣	١
عالية النشاط	١	١,٥٦	٨,٩٤٤	١٣,٩٦٥	٢
عالية النشاط	١	١,١٧	٢٨,٩٥٨	٣٣,٩٥٨	٣
عالية النشاط	١	١,٣٨	١٢,٨٨٣	١٧,٨٨٣	٤
عالية النشاط	١	١,٥٦	٨,٧٧٨	١٣,٧٧٨	٥
عالية النشاط	١	١,٤٥	١٠,٨٨٦	١٥,٨٨٦	٦
معتدلة النشاط	٢	١,٧٥	١٣,٤١٥	٢٣,٥٤٧	الرئيسي

المصدر/اعتمادا على جدول (٣) وانموذج الارتفاع الرقمي (DEM) وبرنامج Arc

GIS 10.4

٣-مؤشر شكل الحوض (BS):

يستخدم هذا المؤشر للدليل عن الاختلافات الشكلية لأحواض ايندزه، حيث تمثل القيم العالية لمؤشر شكل حوض التصريف (BS) حصول نشاط تكتوني عالي، وهذا يعني اقتراب الشكل الى الشكل المستطيل، اما في حالة انخفاض قيمة المؤشر (BS) اذ يكون منخفض نشاط تكتوني، أي اقتراب شكل الحوض الى شكل دائري كما في الجدول (٥) ويعبر عنها بالمعادلة الحسابية التالية^(٤):

$$BS = BL / Bw$$

$=BL$ طول الحوض

$=Bw$ عرض الحوض

جدول (٥) قيم مؤشر شكل الحوض (BS) لأحواض ايندزه

الاحواض	المدى	درجة مؤشر BS	الصنف
٣ ، ١	٧ فاكثر	عالية النشاط	١
٤	٧-٤	معدلة النشاط	٢
٦، ٥، ٢، الرئيسي	اقل من ٤	منخفضة النشاط	٣

المصدر / Keller, E, A, and pinter, n Active Tectonics,

Earthquakes, Uplift, and Landscape 2002, p125,

من خلال تطبيق المعادلة الحسابية وجدول (٥) تم تصنيف احواض ايندزه الى ثلاثة فئات وكما في جدول (٦) وخريطه (٢) وكما يلي:

١-الفئة الأولى : يمثل حوضين هما (١ ، ٣) اذ بلغت على التوالي (٧,٣٧ ، ١٩,٦١) وهذا يعني احواض ذات نشاط تكتوني عالي وهذا يعني ذات شكل قريب من المستطيل.

٢-الفئة الثانية : تمثل حوض (٤) اذ بلغ حوالي (٤,٩٩) وهذا يعني حوض ذات نشاط تكتوني معتدل نتيجة لاقتراب الشكل من الشكل المستطيل.

٣-الفئة الثالثة : تمثل الاحواض (٢ ، ٥ ، ٦ ، الرئيسي) اذ بلغت (٠,٦٦ ، ٣,٣٦ ، ١,٩٣ ، ٠,٥٣) وتكون ذات نشاط تكتوني منخفض نتيجة اقتراب الشكل من الشكل الدائري.

جدول (٦) مؤشر (BS) لأحواض ايندزه

الدرجة	الصنف	BS _○	BW _○	BL	الاحواض
عالية النشاط	١	٧,٣٧	٢,٧٣٣	٢٠,١٦٣	١
منخفضة النشاط	٣	٠,٦٦	١٣,٣٥٤	٨,٩٤٤	٢
عالية النشاط	١	١٩,٦١	١,٤٧٦	٢٨,٩٥٨	٣
معتدلة النشاط	٢	٤,٩٩	٢,٥٧٨	١٢,٨٨٣	٤
منخفضة النشاط	٣	٣,٣٦	٢,٦٠٩	٨,٧٧٨	٥
منخفضة النشاط	٣	١,٩٣	٥,٦٢٥	١٠,٨٨٦	٦
منخفضة النشاط	٣	٠,٥٣	٢٤,٩٤٨	١٣,٤١٥	الرئيسي

المصدر / اعتمادا على جدول (٥) وانموذج الارتفاع الرقمي (DEM) وبرنامج Arc

GIS 10.4

٤- مؤشر طول المجرى ودرجة انحداره (SL) :

تعد الحواجز الصخرية أو الحفافات الصخرية بمثابة حفافات للوديان ذات الانحدارات الشديدة التي يزيد انحدارها عن ٤٠ درجة. ترتبط نشأت هذه الحفافات الصخرية والحواجز الصخرية بطبيعة الطبقات الصخرية الأفقية وتركيبها المتعاقب بين الطبقات إذ أنها تكون صلبة في الأعلى ورخوة في الأسفل وترتبط أيضاً بعوامل التعرية المتمثلة بالحث الرأسي والجانبي للمياه الجارية^(١).

ان تطور التضاريس ينتج عن عمليات التعرية مثل المجرى والأنهار التي تتدفق على صخور وتربة ذات قوة متغير، تم حساب قيم المؤشر (SL) بالاعتماد على المعادلة الحسابية التالية^(٧):

$$SL = (\Delta H / \Delta L) \cdot L$$

اذ ان

SL = مؤشر تدرج انحدار مجى النهر

ΔH = هو الفرق الارتفاع بين نهايات منطقة القياس

ΔL = المسافة الأفقية للفاصل المراد قياسه

L = هو المسافة الأفقية من منطقة تقسيم المياه الى وسط المنطقة المطلوب قياسها

جدول (٧) قيم مؤشر طول المجرى ودرجة انحداره SL لأحواض ايندزه

الصنف	درجة مؤشر SL	المدى	الاحواض
١	عالية النشاط	٥٠٠ فاكثر	١ ، ٢ ، ٣ ، ٤ ، ٥ ، ٦ الرئيسي
٢	معتدلة النشاط	٣٠٠ - ٥٠٠	-----
٣	منخفضة النشاط	٣٠٠ واقل	-----

Keller, E, A, and pinter, n Active Tectonics, در/ المصادر

Earthquakes, Uplift, and Landscape 2002, p139,

من خلال تطبيق المعادلة الحسابية لمؤشر (SL) تبين ان جميع احواض ايندزه ذات نشاط عالي، وكما في جدول (٨).

جدول (٨) مؤشر (SL) لأحواض ايندزه

الدرجة	الصنف	SL	ΔH	ΔL	L	الاحواض
عالية النشاط	١	٩٢٧,٤٩	٩٧٦	٢٠,١٦٣	٢٠,١٦٣	١
عالية النشاط	٣	٦٤٣,٩٦	٦٤٩	٨,٩٤٤	٨,٩٤٤	٢
عالية النشاط	١	١٤١٦	١٤٣٤	٢٨,٩٥٨	٢٨,٩٥٨	٣
عالية النشاط	٢	١٥٨٧	١٦٢٢	١٢,٨٨٣	١٢,٨٨٣	٤
عالية النشاط	٣	١٢٣٥,٤	١٢٨٦	٨,٧٧٨	٨,٧٧٨	٥
عالية النشاط	٣	٩٢٠	١٠١٥	١٠,٨٨٦	١٠,٨٨٦	٦
عالية النشاط	٣	١٦٥١	١٧٨١	١٣,٤١٥	١٣,٤١٥	الرئيسي

المصدر/اعتمادا على جدول (٧) وانموذج الارتفاع الرقمي (DEM) وبرنامج Arc GIS 10.4

GIS 10.4

٥-مؤشر عرض أرضية الوادي الى ارتفاع الوادي (VF) :

مؤشر (VF) يحدد التباين بين أرضية الاودية التي تظهر على شكل (V) وهي ذات قيم منخفضة وبين الوديان ذات الأرضية العريضة التي يكون شكلها مثل حرف

(U) وهي ذات قيم عالية ، بالإضافة يمكن وصف الوادي ذات شكل حرف (U) بأنه تكون استجابة للرفع النشط بينما تطور الوادي ذات شكل حرف (U) بسبب التعرية الجانبية للأودية المنحدرة اسفل التلال والتي تعكس فعالية تكتونية منخفضة، حيث ينخفض المؤشر (VF) عن منابع الاحواض والتي تعكس تكتونية عالية وتزداد القيم كلما تقدمنا نحو منطقة المصب والتي تمتاز بتكتونية منخفضة، تم حساب مؤشر عرض أرضية الوادي الى ارتفاع الوادي (VF) اعتمادا على الجدول (٩) والمعادلة الحسابية الآتية^(٨):

$$VF = 2VFW / \{ (Eld - Esc) + (Erd - Esc) \}$$

حيث ان :

VF = نسبة عرض أرضية الوادي الى ارتفاعه.

VFW = عرض أرضية كل وادي.

Eld = ارتفاع جانب الايسير من الوادي.

Erd = ارتفاع جانب الأيمن من الوادي.

Esc = متوسط ارتفاع أرضية الوادي .

جدول (٩) قيم مؤشر (VF) لأحواض ايندزه

الاحواض	المدى	درجة مؤشر VF	الصنف
الايندزه الرئيسي	> 1.2	عالية النشاط	١
-----	٢.٨ - ١.٢	معتدلة النشاط	٢
-----	< ٢.٨	منخفضة النشاط	٣

Keller, E, A, and pinter, n Active Tectonics, Earthquakes, / المصدر ،

Uplift, and Landscape 2002, p125.

من خلال تطبيق المعادلة الحسابية لمؤشر (VF) تبين ان جميع احواض ايندزه ذات نشاط عالي، وكما في جدول (١٠).

جدول (١٠) مؤشر (VF) لأحواض ايندزه

الدرجة	الصنف	VF	Eld	ERd	Esc	VFW	الاحواض
عالية النشاط	١	٠,٠٠٥	١٥٠١	١٥٠٠	٩٧٦	٢,٧٣٣	١
عالية النشاط	١	٠,٠١	١٤٨٢	١٤٩٢	٦٤٩	١٣,٣٥٤	٢
عالية النشاط	١	٠,٠٠٢	١٩٧٠	١٩٧٦	١٤٣٤	١,٤٧٦	٣
عالية النشاط	١	٠,٠٠٤	٢٣٠١	٢٣٠٦	١٦٢٢	٢,٥٧٨	٤
عالية النشاط	١	٠,٠٠٣	١٩٤٢	١٩٥٤	١٢٨٦	٢,٦٠٩	٥
عالية النشاط	١	٠,٠١	١٥٨٤	١٥٨٥	١٠١٥	٥,٦٢٥	٦
عالية النشاط	١	٠,٠٤	٢٣٠٤	٢٣٠٦	١٧٨١	٢٤,٩٤٨	الرئيسي

المصدر/اعتمادا على جدول (٩) وانموذج الارتفاع الرقمي (DEM) وبرنامج Arc GIS 10.4

٦-مؤشر الفعالية التكتونية النسبية (LAT) :

يعتمد تصنيف مؤشر الفعالية التكتونية النسبية على جميع نتائج التصانيف للمؤشرات الجيومورفولوجية للنشاط التكتوني ولجميع الاحواض في ايندزه ، بالإضافة انه بمثابة المحصلة النهاية لبيان تأثير قيم المؤشرات الجيومورفولوجية بالنشاط التكتوني الصادر من حوض ايندزه ، وذلك يعكس نسبة النشاط التكتوني لجميع المؤشرات بجميع الاحواض ، اذ يعطي نظره شمولية عن مدى تأثير قيم المؤشرات الجيومورفولوجية بالاشطة التكتونية في حوض ايندزه ، أي عن طريق جمع نتائج قيم تصنيف المؤشرات الجيومورفولوجية السابقة في مصفوفة واحدة

ومن ثم إعطاء كل مؤشر قيمة معينة لكي يمثل التصنيف النهائي ، وتم استخراجها من المعادلة التالية :

$$LAT = S/N$$

حيث ان :

LAT = التصنيف النهائي لمحصلة المؤشرات النشاط التكتوني .

S = رقم صنف المؤشر لكل حوض مائي في منطقة الدراسة.

N = عدد المؤشرات .

جدول (١١) قيم مؤشر (LAT) لأحواض ايندزه

الاحواض	المدى	درجة مؤشر LAT	الصنف
٥ ، ٣ ، ١	١,٥ - ١	عالية النشاط جدا	١
٦ ، ٤ ، ٢	٢ - ١,٥	عالية النشاط	٢
الرئيسي	٢,٥ - ٢	معتدلة النشاط	٣
-----	٢,٥ فاكثر	منخفضة النشاط	٤

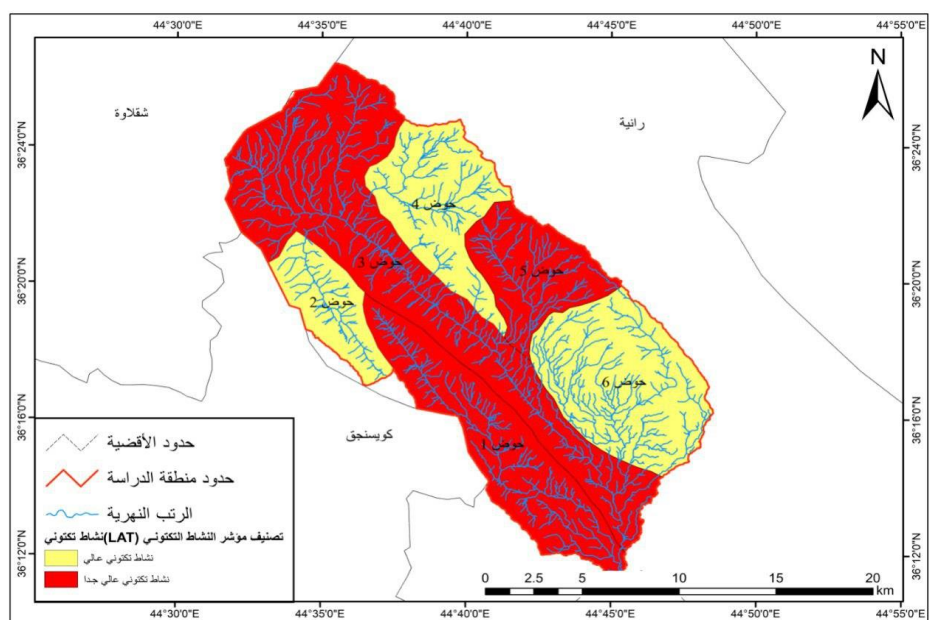
R.E, Hamdouni , C,Irigaray, T, Fernandes ,J, المصدر /
 Chacon,E,A,Keller.(2008) ,Assessment of relative active tectonic ,south
 west border of Sierra southern Spain Journal of Geomorphology
 Elsevier.p150.

جدول (١٢) مؤشر (LAT) لأحواض ايندزه

الدرجة	الصنف	LAT	S/N	VF	SL	BS	SMF	AF	الاحواض
عالية النشاط جداً	١	١.٤	٧	١	١	١	١	٣	١
عالية النشاط	٢	١.٨	٩	١	١	٣	١	٣	٢
عالية النشاط جداً	١	١.٤	٧	١	١	١	١	٣	٣
عالية النشاط	٢	١.٦	٨	١	١	٢	١	٣	٤
عالية النشاط جداً	١	١.٤	٧	١	١	٣	١	١	٥
عالية النشاط	٢	١.٦	٨	١	١	٣	١	٢	٦
معتلة النشاط	٣	٢	١٠	١	١	٣	٢	٣	الرئيسي

المصدر/اعتماداً على جدول (١١) وانموذج الارتفاع الرقمي (DEM) وبرنامج Arc GIS 10.4

خرائطة (٣) التصنيف النهائي لمؤشرات النشاط التكتوني النسبية (LAT)



المصدر/ من عمل الباحث باستخدام برنامج Arc GIS 10.5

ومن خلال تطبيق المعادلة الحسابية لمؤشر الفعالية التكتونية النسبية (LAT) وجدول (١١) و(١٢) وخريطة (٣) تم تصنیف أحواض ایندزه الى ثلاثة أصناف وكما يلي :

- ١- **الصنف الأول :** ويشمل ثلاثة أحواض هي (٥ ، ٣ ، ١) اذ بلغت (١.٤ ، ١.٤ ، ١.٤) على التوالي وهي أحواض ذات نشاط تكتوني عالي جدا .
- ٢- **الصنف الثاني :** ويشمل ثلاثة أحواض هي (٦ ، ٤ ، ٢) اذ بلغت (١.٨ ، ١.٦ ، ١.٦) على التوالي وهي أحواض ذات نشاط تكتوني عالي .
- ٣- **الصنف الثالث :** ويضم حوض الرئيسي اذ بلغ (٢) وهو حوض ذات نشاط تكتوني معتدل .

الاستنتاجات والتوصيات

الاستنتاجات

- ١- لقد أظهرت نتائج قياسات المؤشرات التكتونية ضمن حوض ایندزه ثلاثة تصنیف للفعالية التكتونية اعتمادا على اهم التصنیف التكتونية المعتمدة، اذ أظهرت ثلاثة أحواض ذات نشاط تكتوني عالي جدا وتمثل بالأحواض (٥ ، ٣ ، ١) وثلاث أحواض ذات نشاط تكتوني عالي وتمثل بالأحواض (٢ ، ٤ ، ٦)، في حين أظهرت الدراسة ان الحوض الرئيسي ذو نشاط تكتوني منخفض.
- ٢- أحواض ایندزه لها مخاطر جيومورفولوجية على النشاطات البشرية (السكن، النقل، السياحة) مثل الانهيارات الصخرية وحركة سقوط الصخور والسيول.

التوصيات

- ١- اجراء دراسة حديثة وتحليل للمخاطر الجيومورفولوجية في حوض ايندزه التي تتعرض الى مخاطر السيول وحركة المواد وبيان سير العمليات الجيومورفولوجية (التعرية والترسيب) مع بيان تأثيرها على النشاط التكتوني .
- ٢- التوسع في الزراعة بشكل متتطور وحسب الدراسة، ولا سيما على المنحدرات لثبيت التربة من مخاطر التعرية .
- ٣- رسم خرائط تحديد المناطق الامنة والمستقرة جيومورفولوجيا والنشاط التكتوني لاستعمالات البشرية .

هوماوش البحث:

- (1) Cloetingh, S., Cornu, T., (2005). *Surveys on environmental tectonics*. Quatern. Sci. Rev. 24, pp. 235-240.
- (2) Keller, E, A, and pinter, n. (2002). *Active Tectonics*, Earthquakes, Uplift, and Landscape, p.125.
- (3) R.E, Hamdouni, C, Irigaray, T, Fernandes , J Chacon, E, A, Keller. (2008), Assessment of relative active tectonic ,south west border of Sierra southern Spain *Journal of Geomorphology Elsevier*. P.163.
- (4) Verrios, Zygouri, and Kokkalas. (2004). *Morphotectonic Analysis in the Eliki Fault Zone (Gulf of Corinth Greece)*, Bulletin of the Geological Society of Greece International Congress, p.34.
- (5) Hack, J.T., (1973). *Stream-profiles analysis and stream-gradient index*, pp. 421-429.
- (6) عبير عدنان خلفة الخزاعي، د. رقية أحمد محمد امين، د. خالد مرزوك الخليفاوي، الغربية الجيومورفية لمنطقة أم رحل تحليل خرائطي مقارن للنظام الهولندي ITC ونظام التصنيف المحلي بالاعتماد على تقنيات الذكاء الاصطناعي، مجلة مداد الاداب، مجلد ١٥ عدد ٣٩، ص ٢٠٢٥)، (٢٠٢٥).
- (7) EI-Hamdouni, R. Irigaray, C. Fernandez, T. Chacon J. and Keller, E.A. (2008). *Assessment of Relative Active Tectonics, southwest Border of sierra Nevada (Southern spain)*. Geomorphology, 96:150-173.
- (8) Bull, W.B. and Mcfadden ,L.D.(1977) . *Tectonic geomorphology north and south of the Garlock fault* ,California , In: doihring , D.O. (Ed.), Geomorphology in Arid Regions .proceedings of Eighth Annual Geomorphological, Symposium, State University ,New York , Binghamton.

المصادر والمراجع

١. الخزاعي، عبير عدنان خلفة، وامين، رقية احمد محمد، والخليفاوي، خالد مرزوق. (٢٠٢٥). الخريطة الجيومورفية لمنطقة أم رحل تحليل خرائط مقارن للنظام الهولندي ITC ونظام التصنيف المحلي بالاعتماد على تقنيات الذكاء الاصطناعي، مجلة مداد الآداب، مجلد ١٥ عدد ٣٩.
2. Bull, W.B. and Mcfadden ,L.D.(1977) . *Tectonic geomorphology north and south of the Garlock fault* ,California , ln: doihring , D.O. (Ed.), Geomorphology in Arid Regions .proceedings of Eighth Annual Geomorphological, Symposium, State University ,New York , Binghamton.
3. Cloetingh, S., Cornu, T., (2005). *Surveys on environmental tectonics*. Quatern. Sci. Rev. 24.
4. El-Hamdouni, R. Irigaray, C. Fernandez, T. Chacon J. and Keller, E.A. (2008). *Assessment of Relative Active Tectonics, southwest Border of sierra Nevada (Southern spain)*. Geomorphology, 96:150-173.
5. Hack, J.T., (1973). *Stream-profiles analysis and stream-gradient index*.
6. Keller, E, A, and pinter, n. (2002). *Active Tectonics*, Earthquakes, Uplift, and Landscape.
7. R.E, Hamdouni, C, Irigaray, T, Fernandes , J Chacon, E, A, Keller. (2008), Assessment of relative active tectonic ,south west border of Sierra southern Spain *Journal of Geomorphology Elsevier*.
8. Verrios, Zygouri, and Kokkalas. (2004). *Morphotectonic Analysis in the Eliki Fault Zone (Gulf of Corinth Greece)*, Bulletin of the Geological Society of Greece International Congress.

Translation of the Arabic references:

Al-Khazai, Abeer Adnan Khalfa, Amin, Ruqayya Ahmed Mohammed, and Al-Khalifaoui, Khaled Marzouq. (2025). Geomorphic map of Umm Rahl

area: A comparative cartographic analysis of the Dutch ITC system and the local classification system based on artificial intelligence techniques, Madad Al-Adab Journal, Volume 15, Issue 39.